

IRANIAN SOCIETY of  
CRYSTALLOGRAPHY  
and MINERALOGY

No. 2, 1386/2007 Fall & Winter



## Petrography and petrology of listwaenites in the east of Khoosf

M. H. Yousefzadeh<sup>1</sup>, M. Sabzehei<sup>2</sup>

1-Research department of Earth Sciences, Faculty of Sciences, Birjand Univ,  
Birjand, Iran.

2- Geological survey of Iran  
E-mail: mhyousefzadeh@yahoo.com

(Received: 6/11/2006, received in revised form: 7/5/2007)

**Abstract:** The studied area is situated in southwestern Birjand (South Khorasan). Lithologic units which are studied contains part of the late Cretaceous coloured melange, Cretaceous and Paleogen flysh sediments, Neogen conglomerate and Tertiary volcanic rocks. The listwaenite of this area often appears along fault zone, boundary of units, bedding planes and schistosity as yellow and brownish vein. The effect of CO<sub>2</sub> bearing hydrothermal solutions on mentioned units, in suitable physico - chemical and termodynamic conditions, caused Listwaenitization reactions. Field and microscopic studies revealed that alteration process comprises pre-stage reactions (specially serpentine and talc forming reactions in ultrabasic rocks) and main reactions of listwaenitization which in primary mineral paragenesis is changed to silicic - carbonate assemblages listwaenite). Abundance and type of minerals is depended on composition of primary rock, PH, Eh, T, P<sub>CO<sub>2</sub></sub> and P<sub>H<sub>2</sub>O</sub>. Microscopic studies and XRD analysis show presence of magnesite, breunerite, dolomite, calcite, smithsonite, quartz, clinochlore, talc, muscovite, chromite, pyrite and magnetite. Also SEM analysis and polished section studies represents Fe, Ni, Fe-Ni-Co sulphur that must be considered as pathfinder minerals for prospecting of Au, Ag, Hg, ... .

**Keywords:** listwaenite, Ultrabasic, Hydrothermal, Khoosf.



## سنگنگاری و سنگشناسی لیستونیت‌های شرق خوسف

محمدحسین یوسفزاده، مسیب سبزه‌ئی

- ۱- گروه پژوهشی علوم زمین دانشگاه بیرجند.  
۲- پژوهشکده علوم زمین سازمان زمین‌شناسی و اکتشافات معدنی کشور.

پست الکترونیکی: mhyousefzadeh@yahoo.com

(دریافت مقاله ۱۳۸۵/۸/۱۵، دریافت نسخه نهایی ۱۳۸۶/۲/۱۷)

چکیده: منطقه مورد مطالعه، در جنوب غربی شهرستان بیرجند (خراسان جنوبی) واقع است. واحدهای لیتولوژیکی مورد بحث، شامل بخشهایی از افیولیت ملانز شرق کشور، با سن اواخر کرتاسه، تهنستهای فلیش کرتاسه و پالوثون، کنگلومراهای نئوژن و سنگهای آتشفسانی ترسیر است. لیستونیتهاي منطقه غالباً به صورت رگه‌ای و به رنگ زرد و قهوه‌ای و در راستای سطوح گسلها، مرز واحدها، سطوح لایه‌بندی، و برگوارگی دیده می‌شود. تأثیر گرمابیهای حاوی  $\text{CO}_2$  بر واحدهای یاد شده، تحت شرایط فیزیکوشیمیایی و ترمودینامیکی مناسب، باعث واکنشهای لیستونیت زائی شده است. بررسیهای صحرایی و میکروسکوپی مبین آن است که فرایندهای دگرسانی شامل واکنشهای پیش‌درآمد لیستونیت زائی (به ویژه واکنشهای مربوط به تشکیل سرپاتینیت و تالک در سنگهای اولترابازیک) و واکنشهای اصلی لیستونیت زائی است که طی آن، پاراژنر کانیایی اولیه سنگها تبدیل به مجموعه سیلیسی-کربناتی (لیستونیت) شده‌اند. فراوانی و نوع کانیهای تشکیل دهنده لیستونیتها به ترکیب سنگ اولیه،  $\text{PH}$  و  $\text{Eh}$  محیط، دما و فوگاسیته  $\text{CO}_2$  و  $\text{H}_2\text{O}$  بستگی دارد. بررسیهای میکروسکوپی و XRD مؤید حضور منیزیت، بروونیت، دولومیت، کلسیت، اسمیت زونیت، کوارتز، کلینوکلر، تالک، موسکویت، کرومیت، پیریت، و مگنتیت است. داده‌های SEM و بررسی مقاطع صیقلی نیز وجود سولفورهای آهن، نیکل و آهن-نیکل-کبالت را نشان می‌دهد که می‌تواند به عنوان کانیهای همراه، برای پی‌جویی عناصری مثل طلا، نقره، جیوه... مورد نظر باشد.

واژه‌های کلیدی: لیستونیت، اولترابازیک، گرمابی، خوسف.

**مقدمه**

با توجه به گسترش نسبتاً زیاد لیستونیت‌ها در شرق کشور و به ویژه در مناطق بیرجند-خوسف [۱] و سهل آباد [۲]، نیز توجه کمتر به آنها در این کار پژوهشی سعی شده است که تا حد امکان، ویژگیهای لیتولوژیکی، سنگنگاری و سنگشناسی آنها، مورد بررسی قرار گیرد. در واکنشهای لیستونیت‌زائی کانیهای سیلیکاته سلیکاته اولیه سنگ به وسیله کربناتهای مختلف، کوارتز و مسکویت کرومدار (فوشیت) جانشین می‌شوند که در سنگهای اولترا بازیک با بقایای کرومیت و مقادیر جرئی پیریت و سولفیدهای دیگر همراه است. برای تشکیل مجموعه‌های لیستونیتی از سیلیکاتهای مافیک، اضافه شدن  $\text{CO}_2$  و الکالی، در شرایط مزوترمال ضروری است [۳ تا ۵].

**روش کار**

در راستای انجام این کار، در حدود ۲۰۰ مقطع نازک و یا صیقلی تهیه و مورد مطالعه قرار گرفتند. سپس به منظور مقایسه، سنگهای اولیه و سنگهای لیستونیتی به تعداد لازم از نمونه‌ها آنالیز XRF و نیز برای تشخیص کانیها از برخی نمونه‌ها آنالیز XRD و SEM به عمل آمد. این آنالیزها در مرکز نسوز آذر اصفهان انجام گرفته است.

**روابط صحرایی**

با عنایت به اینکه منطقه مورد مطالعه، در گستره زون سیستان و بلوک لوت قرار دارد، واحدهای سنگی مختلفی در آن دیده می‌شود. بخش گستردگی از منطقه، در برگیرنده افیولیت ملانژ جنوب بیرجند است. این واحدهای شامل سنگهای اولترا بازیک و بازیک، کم و بیش دگرسان بوده و غالباً با مرزهای گسلی نسبت به هم وجود دارند. سنگهای فلیشی، تا حدودی دستخوش دگرگونی ناحیه‌ای با درجه ضعیف شده و به اسلیت و فیلیت تبدیل گشته‌اند. کنگلومراهای نئوژن نیز، که در برگیرنده قطعاتی از سنگهای آمیزه رنگین است در بخش جنوبی منطقه وجود دارد. سنگهای آتشفسنای حدواسط نیز در بخش‌های شرقی و غربی منطقه، به صورت تودهای گنبدی یافت می‌شوند [۶، ۷]. واکنشهای لیستونیت‌زائی، بیشتر در سرپانتینیتها و به مقدار کمتر، در سنگهای مرتبط و یا مجاور با آن صورت پذیرفته است. سنگهای حاصل، با توجه به ترکیب شیمیایی و کانی‌شناسی خود (سیلیسی-کربناتی)، نسبت به سنگ اولیه، از استحکام بیشتری برخوردار بوده، و این باعث می‌شود که رگه‌های لیستونیتی به صورت برجسته‌تری ظاهر نمایند. این رگه‌ها، اغلب دارای رنگ زرد، زرد مایل به قهوه‌ای و برخی از آنها با سطح تیره دیده می‌شوند که ناشی از آزاد شدن ترکیب‌های آهن در طول دگرسانیهای سوپرژن بعدی است [۱].

## سنگنگاری

بنابر تقسیم‌بندی ارائه شده توسط [۸]، لیستونیتهای منطقه در سه گروه ارتولیستونیت (ناشی از دگرسانی متاسوماتیک سنگهای آذرین مافیک و اولترامافیک)، پارالیستونیت (ناشی از دگرسانی سنگهای تنهنشستی) و اپی لیستونیت (ناشی از دگرسانی سنگهای دگرگون) جای می‌گیرند [۱]:

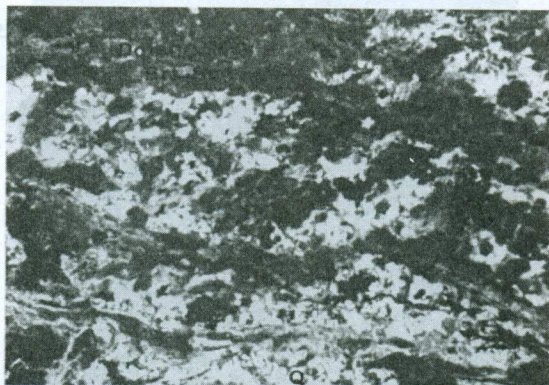
**۱- سنگهای اولترابازیک لیستونیتی شده (ارتولیستونیت)** (شکل ۱) نشانه‌های تشخیص سنگهای اولترابازیک (هارزبورزیت و لرزولیت) در مرحله نخست، یعنی پیش و با همزمان با جایگیری بر پوسته قاره‌ای، به سرپانتینیت و سرپانتینیت شیست و ذر مراحل بعدی، به لیستونیت تبدیل شده‌اند (شکل ۱). عمدترين بافتی که در اين گروه از لیستونیتها دیده می‌شود، برگوارگی به جا مانده از سرپانتینیت شیسته است که در مواردی چینهای ظرفی را نشان می‌دهند. فراوان‌ترین کانیهای کربناته تشخیص داده شده با میکروسکوپ و داده‌های XRD، منیزیت ( $MgCO_3$ ), برونزیت ( $MgCO_3(Mg,Fe)CO_3$ ), کلسیت ( $CaCO_3$ ), دولومیت ( $Ca,Mg(CO_3)_2$ ), سیدریت ( $FeCO_3$ ) و اسمیت زونیت ( $ZnCO_3$ ) هستند. این کانیها، اغلب به صورت رگه‌ای، رگچه‌ای و یا مجموعه‌های ریزدانه و درشتدانه و نیز نوارهای متناوب کربنات قهقهه‌ای رنگ و کوارتز روشن (شکل ۲) ملاحظه می‌شوند. آثار برش خوردگی در برخی از رگچه‌های کربناتی، حاکی از آن است که اعمال تنشهای زمین‌ساختی، پس از تشکیل رگه‌ها و رگچه‌ها ادامه داشته است (شکل ۳). بقایای بافت مشبك (mesh texture) مربوط به سرپانتینیتها، در بعضی از لیستونیت‌های حاصل از آن، نشان می‌دهد که این گروه از سنگها، احتمالاً پیش و پس از تشکیل لیستونیت، کمتر دستخوش دگرشکلی شده‌اند [۱]. پورفیروکلاستهای کروم اسپینل و کرومیت که نشان دهنده خاستگاه اولترامافیک سنگ اولیه است نیز وجود دارند. بلورهای کوارتز در مواردی، بافت اسفلولیتی نشان می‌دهند (شکل ۴). از دیگر کانیهای مشخص شده از داده‌های XRD، می‌توان کلینوکلر، تالک، موسکویت کروم‌دار (فوشیت) رانم برد (شکل ۵). سیمای کانیایی دگرنهادی پتاسیم معمولاً در تشکیل موسکویت کروم‌دار (فوشیت یا ماریپوسیت) یافت می‌شود که کروم آن، همان کروم دوباره متحرک شده وابسته به کرومیت و یا سیلیکاتهای کروم‌دار است. وقتی مقدار کروم کمتر باشد، موسکویت زرد رنگ (سریسیت) تشکیل خواهد شد [۹، ۴].

بنابر شواهد بافتی و ساختی، واکنشهای دگرسانی در سنگهای اولترابازیک منطقه، حداقل در سه مرحله رخ داده است [۱]: در مرحله اول، سنگهای اولترابازیک به سرپانتینیت و یا سرپانتینیت شیست تبدیل شده‌اند که احتمالاً طی آن، بخشی از گرمابیهای حاوی  $CO_2$  در اثر

واکنشهای دگرگونی پیشرونده  $\text{CO}_2$  زا، حاصل شده است. در مرحله دوم، با تغییر شرایط فیزیکوشیمیایی و ترمودینامیکی، سرپانتینیت‌ها و سرپانتینیت شیسته‌ها به لیستونیت تبدیل شده‌اند. در این مرحله، سرپانتینیت‌ها با حفظ بافت مشبک و سرپانتینیت شیسته‌ها در راستای سطوح شیستوزیت‌های خود، لیستونیت شده‌اند. در مرحله سوم، تکرار واکنشهای لیستونیت‌زائی صورت گرفته که طی آن، رگچه‌های کوارتز و کربناتی جدیدتر، زمینه سیلیسی-کربناتی قدیم‌تر و یا برگوارگی اولیه را قطع می‌کنند. ریزدانه‌های پیریت نیز به صورت پراکنده در زمینه سیلیسی-کربناتی ملاحظه می‌شود [۱]. داده‌های SEM حضور سولفورهای آهن نیکل و نیکل-آهن-کبات را نشان می‌دهد.



شکل ۱ نمایی از رگه لیستونیتی درون سرپانتینیت‌های شرق روستای چشم‌زرد.



شکل ۲ لیستونیت‌زائی در راستای سطوح شیستوزیت‌های سرپانتینیت‌ها (XPL $\times 12.5$ ). انواع کربنات (دولومیت، منیزیت، کلسیت، برونزیت و اسمیت زونیت)، کوارتز و موسکوویت با XRD در این نمونه تأیید شده است.



شکل ۳ برش خوردگی رگچه‌های کربناتی در ارتوالیستونیت‌ها (XPL, $\times 12/5$ )



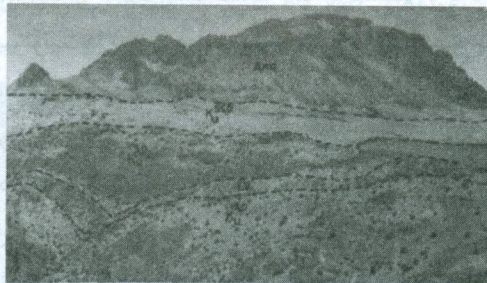
شکل ۴ بافت اسفلولیتی بلورهای کوارتز در ارتوالیستونیت‌ها (XPL, $\times 20$ )



شکل ۵ بلورهای موسکوویت کروم‌دار (فوشسیت) در زمینه سیلیسی - کربناتی (منیزیت، دولومیت و بروونیت) (XPL, $\times 50$ )

## ۲- سنگ‌های بازیک لیستونیتی شده (ارتولیستونیت)

رگه‌های طویل لیستونیت، در راستای زون‌های گسلی و غالباً با روند شرقی- غربی، درون توده‌های بازالتی منطقه ظاهر می‌کند (شکل ۶). در دیابازها و بازالت‌هایی که کمتر تحت تاثیر واکنش‌های لیستونیت‌زائی قرار گرفته‌اند، آثار بافت‌های دیابازی و واریولیتی تا حدودی بجا مانده است. اما در نمونه‌های کاملاً لیستونیتی، کربنات و کوارتز، به صورت انباشت ریزدانه و درشت‌دانه و رگچه‌ای دیده می‌شوند. بررسی مقاطع نازک و داده‌های XRD، مؤید حضور آلبیت، اولوین کلریتی شده، کلسیت، کوارتز، اپیدوت، و کانی‌های تیره، در سنگ‌های کمتر دگرسان و کلسیت، آراغونیت، دولومیت، سیدریت، فایرچیلدیت ( $K_2Ca(CO_3)_2$ )، برونزیت، کوارتز، کلریت، و کانی‌های تیره، در نمونه‌های کاملاً لیستونیتی، است [۱]. حضور رگچه‌های نسبتاً خالص کلسیت و آراغونیت و نیز بلورانهای کربناته با بافت گل‌ریزی (بیشتر دولومیت، برونزیت، سیدریت، و کلسیت) که در مرحله جدیدتر، درون رگه‌های لیستونیت متعلق به مرحله قدیم‌تر، به وجود آمده‌اند، مؤید تکرار این واکنش‌ها است (شکل ۷). در شرایطی که  $X_{CO_2}$  پائین بوده است به جای لیستونیت، مجموعه‌ای از سیلیکات‌های کلسیم‌دار به وجود آمد که تشکیل رودینگیت را داده‌اند (شکل ۸) [۱].



شکل ۶ رگه لیستونیتی (LV) درون بازالت اسپیلیتی (شمال روستای اجگ).



شکل ۷ ژئوهای کربناتی (بیشتر از دولومیت، برونزیت، سیدریت، کلسیت) در بازالت لیستونیتی شرق روستای چشمبه زرد.



شکل ۸ کلینوکلر (به رنگ روشن) و کلینوپیروکسن فراوانترین کانی‌های تشکیل دهنده رودینگیت ( $\times 200$ )

### ۳- مجموعه فلیشی لیستونیتی شده (پارالیستونیت‌ها و اپی‌لیستونیت‌ها)

فلیش‌های منطقه، که بیشتر به کرتاسه فوقانی مربوط می‌شوند، شامل شیل، شیل‌های رادیولاریتی، ماسه سنگ و سیلتستون بوده و در بعضی از بخشها، همراه با سنگ‌های اولترابازیک و بازیک، از سازاهای آمیزه رنگین محسوب می‌شوند. برخی از سنگ‌های فلیشی، تا حد اسلیت و فیلیت دگرگون شده‌اند. لذا، بر حسب اینکه سنگ اولیه تهنشستی و یا دگرگونی باشد به ترتیب، پارالیستونیت و اپی‌لیستونیت‌ها به وجود آمده‌اند. رگه‌های لیستونیتی عمولأً در راستای زون‌های گسلی، مرز واحدها، سطوح لاپهندی، و شیستوزیته تشکیل شده‌اند (شکل ۹). با توجه به داده‌های میکروسکوپی، XRD، کلسیت، دولومیت، و کوارتز به عنوان سازاهای پارالیستونیت، به صورت انباشت ریزدانه‌ها و درشت‌دانه‌ها، زمینه سیلیسی-کربناتی این گروه از سنگ‌ها را به وجود می‌آورند. در اپی‌لیستونیت‌ها نیز، کلسیت، دولومیت، سیدریت، کوارتز، اوژیت و موسکویت، زمینه سنگ ریزدانه را شامل شده که به وسیله رگچه‌های کلسیت، دولومیت و کوارتز قطع شده‌اند [۱].



شکل ۹ رگه لیستونیتی درون اسلیت‌ها و فیلیت‌ها، واقع در غرب روستای چاهکلک پائین.

**۴- کنگلومرای لیستونیتی شده (پارالیستونیت)**

رخمنون‌های بسیار گسترده و جالبی از کنگلومرای نئوژن منطقه، که در راستای زون‌های گسلی و شکستگی‌ها، لیستونیتی شده‌اند نیز، وجود دارند (شکل ۱۰). اجزای سازای این کنگلومرا، از سنگ‌های اولتراابازیک و بازیک آمیزه رنگین تشکیل شده‌اند. در راستای شکستگی‌های موجود در رگه‌های کنگلومرای لیستونیتی، تکرار واکنش‌های لیستونیت‌زائی صورت گرفته است. اصلی‌ترین کانیهای مشخص شده با میکروسکوپ، XRD، کوارتز، دولومیت، کلسیت، کاولینیت، دیکیت، کلینوکلر، و موسکوویت است. مجموعه کانیایی این سنگ‌ها، بافت کنگلومرایی اولیه سنگ را به نمایش می‌گذارند [۱].

**۵- آندزیت‌ها و داسیت‌های لیستونیتی شده**

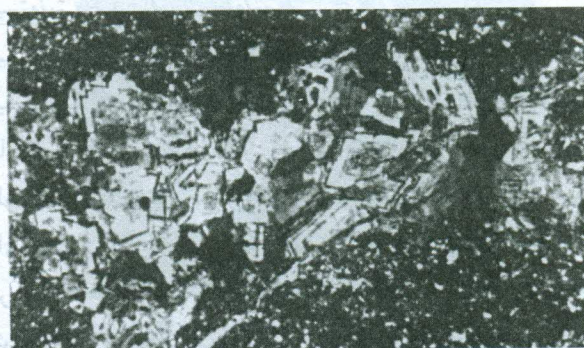
سنگ‌های آندزیتی و داسیتی منطقه به علت جوان‌تر بودن و تأثیر کمتر عوامل دگرسانی بر آن، فقط در بخش‌های حاشیه‌ای برخی توده‌ها و در زون‌های گسلی، تحت تأثیر واکنش‌های لیستونیت‌زائی قرار گرفته‌اند (شکل ۱۱). در نمونه‌هایی که کمتر دگرسان شده‌اند آثار کانیها و بافت اولیه این سنگ‌ها، با حفظ قالب بلوری درشت بلورهای هورنبلنده، پلاژیوکلاز و بیوتیت، کاملاً مشخص است. در نمونه‌های کاملاً دگرسان، غالباً بلورهای منطقه‌ای دولومیت، در زمینه‌ای از کانیهای سیلیسی و کربناتی دیده می‌شوند (شکل ۱۲) [۱].



شکل ۱۰ دورنمایی از کنگلومرای لیستونیتی در شمال روستای چاهکلک (نگاه رو به شمال).



شکل ۱۱ نمایی از پدیده لیستونیت‌زائی درون سنگ‌های حدواسط (آندزیت)، شمال روستای چاهکلک.



شکل ۱۲ بلورهای منطقه‌ای دولومیت در زمینه سیلیسی-کربناتی آندزیت‌های لیستونیتی (XPL,  $\times 12.5$ )

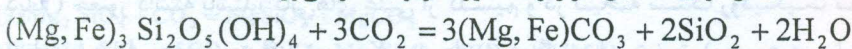
موقعیت لیستونیت‌های منطقه در تقسیم‌بندی‌های مختلف

در جدول ۱ انواع لیستونیت‌های منطقه در تقسیم‌بندی‌های مختلف نشان داده شده‌اند.

جدول ۱ جایگاه لیستونیت‌های منطقه در تقسیم‌بندی‌های مختلف.

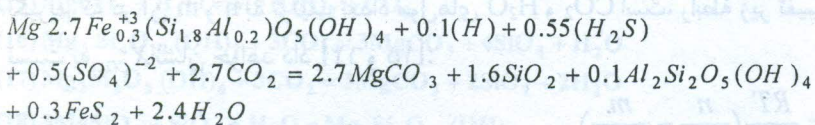
تقسیم‌بندی براساس مقادیر کانی‌های سیلیسی-کربناتی [۱۸]	تقسیم‌بندی براساس نوع فیلیوسیلیکات‌های تولید شده [۵]	تقسیم‌بندی براساس حضور یا فقدان پتانسیم [۱۷]	تقسیم‌بندی براساس ماهیت سنگ اولیه [۸]
سیلیسی-کربناتی	لیستونیت اولترامافیک‌های لیستونیتی شده حاوی میکائی کروم دار	لیستونیت‌های آوتوماتورفیک ارتولیستونیت‌ها اولترامافیک‌ها و حاوی پتانسیم (لیستونیت مافیک‌های لیستونیتی شده (حد واقعی) [۱۹] و [۲۰] اوترمافیک‌ها مافیک و واسطه‌های لیستونیتی شده)	پارالیستونیت‌ها رسوبی‌های لیستونیتی شده (ماله لیستونیت‌های سنگ، سیلتستون و کنگلومرای اوتوماتورفیک عاری از پتانسیم (ماله سنگ، سیلتستون، شیل، لیستونیتی شده) اسلیت ابی لیستونیت‌ها دگرگونی‌های لیستونیتی شده و کنگلومرای لیستونیتی شده) (اسلیت و فیلیت‌های لیستونیتی شده)

واکنش‌های لیستونیت‌زائی و شرایط انجام آن  
واکنش‌های لیستونیت‌زائی، در برگیرنده جانشینی کانی‌های سیلیکاته سنگ‌های اولترامافیک، از قبیل سرپانتین و در موارد نادرتری، جانشینی مستقیم اولیوین و پیروکسن به وسیله کربنات‌هاست. برای تشکیل کربنات‌ها، کاتیون‌های Fe و Mg به وسیله کانی‌های سیلیکاته فراهم می‌شود. مقدار Ca در کربنات، به فراوانی نسبی سیلیکات کلسیم‌دار اولیه و نفوذ کلسیم به درون گرماب بستگی دارد. به عنوان محصول دگرسانی سیلیکات‌ها و ثبیت Fe-Mg - Ca در کربنات، سیلیس برای تشکیل کوارتز به صورت زیر به کار می‌رود :



آب سیلیس کربنات آهن و منیزیم سرپانتین

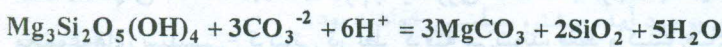
چنانچه گرمابی که حالت احیا دارد، حاوی سولفوری به صورت مجموعه‌های HS باشد، پیریت و سولفیدهای دیگر از قبیل گرسدورفت، میلریت، و پنتلاندیت نیز ممکن است تشکیل شوند [۱۰] :



بنابر نظر [۱۱] تشکیل لیستونیت واقعی (فوشسیت لیستونیت) ارتباط نزدیکی با تشکیل سولفیدهای ریزدانه در سنگ‌های دگرسان دارد و لذا این مرحله از دگرسانی می‌تواند با کانی-سازی طلا همراه باشد [۱۱]. آبهایی که باعث سرپانتینی شدن سنگ‌های اولترابازیک می‌شوند قلیایی بوده و دارای PH حدود ۱۰ تا ۱۲ و منیزیم بسیار کم و در حدود ۱ ppm گستردند. اگر میزان  $X_{CO_2}$  بیش از ۵ درصد مولی باشد لیزاردیت و کربیزوتیل پایدار نخواهد بود ولی آنتی گوریت در شاره‌هایی با  $X_{CO_2} = ۲۰$  درصد مولی هنوز پایدار است. با این توضیحات، واضح است شاره‌هایی که باعث سرپانتینی شدن می‌شوند ضرورتاً از CO<sub>2</sub> فقیرند [۱۲].

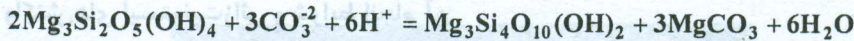
چنانچه  $X_{CO_2}$  در شاره افزایش یابد (مثلاً در اثر واکنش‌های شاره‌زایی) علاوه بر آن که مانع سرپانتینی شدن می‌شود، باعث ناپایداری سرپانتین شده و در این شرایط لیستونیت تشکیل می‌شود [۱۰].

بنا بر عقیده سازانوف [۱۳] با کاهش PH و افزایش  $X_{CO_2}$  سرپانتین ناپایدار شده و بر اثر واکنش زیر دگرسان می‌شود [۱۳] :



آب سیلیس منیزیت سرپانتین

در صورتی که مقدار کاتیون منیزیم برابر  $3^{-10}$  باشد واکنش زیر انجام خواهد گرفت.



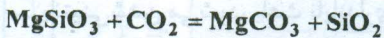
سربانتین

آب منیزیت تالک

با کاهش شدید PH، سربانتین و تالک هر دو می‌توانند تجزیه شده و سیلیس آزاد نمایند. از آنجا که در ساختار بلوری سربانتین، جایی برای کلسیم وجود ندارد، لذا آزاد شدن یون  $\text{Ca}^{2+}$  مربوط به پیروکسن‌های سنگ‌های اولترابازیک طی سربانتینی شدن، باعث ابر اشباع غلظت آن در گرمابها خواهد شد. در این شرایط، چنانچه  $X_{\text{CO}_2}$  کم و سنگ‌های بازیک (مثل بازالت و دیباز) حضور داشته باشند، کانی‌های غنی از کلسیم و در نتیجه سنگ رودینگیت تشکیل خواهد شد. ولی در صورت افزایش  $X_{\text{CO}_2}$ ، به جای رودینگیت، لیستونیت (مجموعه سیلیسی-کربناتی)، در سنگ‌های بازیک به وجود خواهد آمد [۱۳]. از نظر ترمودینامیکی براساس تغییرات دما در مقابل  $X_{\text{CO}_2}$  (در فشار ثابت)، واکنش‌های دربرگیرنده  $\text{CO}_2$  و  $\text{H}_2\text{O}$  به پنج گروه تقسیم می‌شوند. اگر رابطه کلی  $A = B + m\text{H}_2\text{O} + n\text{CO}_2$  را برای واکنش‌های شاره‌زا در نظر بگیریم که در آن  $m$  و  $n$  به ترتیب تعداد مول‌های  $\text{H}_2\text{O}$  و  $\text{CO}_2$  است، رابطه زیر تغییرات دما را نسبت به  $X_{\text{CO}_2}$  نشان خواهد داد [۱۴ و ۱۵]:

$$\left( \frac{\partial T}{\partial X_{\text{CO}_2}} \right) = \frac{RT}{\Delta S_r} \left( \frac{n}{x_{\text{CO}_2}} - \frac{m}{x_{\text{H}_2\text{O}}} \right)$$

که در آن ( $R$ ) ثابت گازها، ( $T$ ) دما، ( $\Delta S_r$ ) آنتروپی واکنش ( $X_{\text{CO}_2}$ ) مول جزیی  $\text{CO}_2$  و  $\text{CO}_2$  ( $X_{\text{H}_2\text{O}}$ ) مول جزیی  $\text{H}_2\text{O}$  است. در واکنش‌های لیستونیت‌زائی که واکنش‌هایی کربن گیر-آب‌زا هستند ( $n < 0$  و  $m > 0$ ، رابطه  $A = B + m\text{H}_2\text{O} + n\text{CO}_2$  به قرار است. لذا، منحنی دارای شب منفی، ولی کمتر از واکنش‌های آب‌زا ساده است (شکل ۱۳). این بدان معناست که با افزایش  $X_{\text{CO}_2}$  دمای لازم برای انجام واکنش کاهش می‌یابد. امکان دارد واکنش‌های لیستونیت‌زائی، فقط کربن گیر باشد، بدون اینکه آب آزاد نماید. به عنوان مثال می‌توان تبدیل مستقیم ارتوپیروکسن به منیزیت و سیلیس را نام برد.



سیلیس منیزیت انستاتیت

سازانوف [۱۳]، تمامی این تغییرات و واکنش‌ها را به صورت نمودارهای ترمودینامیکی ارائه کرده است (شکل‌های ۱۴ تا ۱۹) [۱۳]. لازم به یادآوری است که با توجه به این که لیستونیت‌ها، مجموعه‌های سیلیسی-کربناتی در نظر گرفته می‌شوند، فقط واکنش‌های ۱ و ۲ و ۱۳ و ۱۶ و ۱۷، مرحله نهایی لیستونیت‌زائی را نشان می‌دهند و واکنش‌های دیگر در برگیرنده تالک و سربانتین و... نشان دهنده مراحل آغازین این پدیده‌اند:

- (1)  $Mg_3Si_4O_{10}(OH)_2 + 3CO_3^{2-} + 6H^+ = 3MgCO_3 + 4SiO_2 + 4H_2O$
- (2)  $Mg_3Si_2O_5(OH)_4 + 3CO_3^{2-} + 6H^+ = 3MgCO_3 + 2SiO_2 + 5H_2O$
- (3)  $Mg_3Si_4O_{10}(OH)_2 + 3Mg^{2+} + 6H_2O = 2Mg_3Si_2O_5(OH)_4 + 6H^+$
- (4)  $2Mg_3Si_2O_5(OH)_4 + 3CO_3^{2-} + 6H^+ = Mg_3Si_4O_{10}(OH)_2 + 3MgCO_3 + 6H_2O$
- (5)  $Mg_3Si_4O_{10}(OH)_2 + 6H^+ = 4SiO_2 + 4H_2O + 3Mg^{2+}$
- (6)  $Mg_3Si_2O_5(OH)_4 + 6H^+ = 2SiO_2 + 5H_2O + 3Mg^{2+}$
- (7)  $MgCO_3 = Mg^{2+} + CO_3^{2-}$
- (8)  $2Mg_2SiO_4 + 3H_2O = Mg_3Si_2O_5(OH)_4 + Mg(OH)_2$
- (9)  $Mg_2SiO_4 + CO_2 = MgSiO_3 + MgCO_3$
- (10)  $4Mg_2SiO_4 + 5CO_2 + H_2O = Mg_3Si_4O_{10}(OH)_2 + 5MgCO_3$
- (11)  $2Mg_2SiO_4 + CO_2 + 2H_2O = Mg_3Si_2O_5(OH)_4 + MgCO_3$
- (12)  $4MgSiO_3 + CO_2 + H_2O = Mg_3Si_4O_{10}(OH)_2 + MgCO_3$
- (13)  $MgSiO_3 + CO_2 = MgCO_3 + SiO_2$
- (14)  $2Mg_3Si_2O_5(OH)_4 + 3CO_2 = Mg_3Si_4O_{10}(OH)_2 + 3MgCO_3 + 3H_2O$
- (15)  $MgCO_3 + H_2O = Mg(OH)_2 + CO_2$
- (16)  $Mg_3Si_4O_{10}(OH)_2 + 3CO_2 = 3MgCO_3 + 4SiO_4 + H_2O$
- (17)  $Mg_3Si_2O_5(OH)_4 + 3CO_2 = 3MgCO_3 + 2SiO_2 + 2H_2O$
- (18)  $3MgSiO_3 + SiO_2 + H_2O = Mg_3Si_4O_{10}(OH)_2$

(شکل ۱۴) نشان می‌دهد که

- الف) با افزایش تدریجی فوگاسیته  $CO_2$ ، سرپانتین، نخست به تالک + منیزیت (واکنش ۴) و سپس تالک، به منیزیت + سیلیس تبدیل می‌شود (واکنش ۱). در حالیکه با افزایش سریع فوگاسیته  $CO_2$ ، سرپانتین، مستقیم به منیزیت + سیلیس تبدیل خواهد شد (واکنش ۲).
- ب) با کاهش تدریجی PH، سرپانتین نخست به تالک (واکنش ۳) و سپس کانی اخیر به مجموعه سیلیس  $H_2O + Mg^{2+}$  تبدیل خواهد شد (واکنش ۵). در حالیکه با کاهش سریع PH، سرپانتین، مستقیم به این مجموعه تبدیل می‌شود (واکنش ۶).
- پ) با کاهش فوگاسیته  $CO_2$  و کاهش PH، منیزیت به  $Mg^{2+}$  و  $CO_3^{2-}$  دگرسان خواهد شد (واکنش ۷).

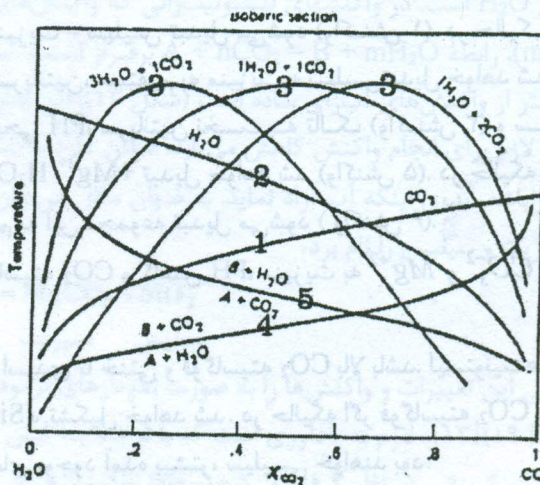
ت) چنانچه PH، اسیدی تا خنثی و فوگاسیته  $CO_2$  بالا باشد. لیستونیت‌های سیلیسی - کربناتی ( $SiO_2 + MgCO_3$ )، تشکیل خواهد شد. در حالیکه اگر فوگاسیته  $CO_2$  پائین و محیط اسیدی باشد، لیستونیت‌های بوجود آمده بیشتر، سیلیسی خواهند بود.

(شکل ۱۵) نشان می‌دهد :

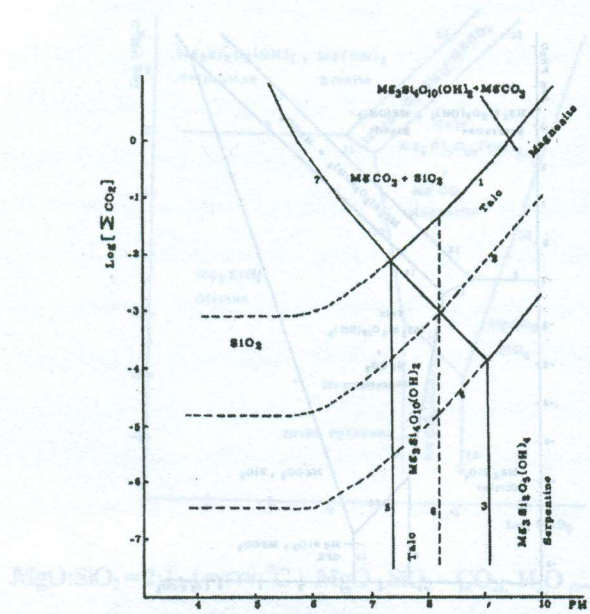
۱- با افزایش دما، PH کمتر و فوگاسیته  $CO_2$  بیشتری برای انجام واکنشها لازم است.

- با افزایش دما گستره پایداری سرپانتین، تالک + منیزیت +  $\text{SiO}_2$  افزایش خواهد یافت.  
 - با افزایش دما، دامنه تغییرات PH برای میدان پایداری تالک کاهش و دامنه تغییرات  $\text{CO}_2$  برای آن افزایش می‌یابد.

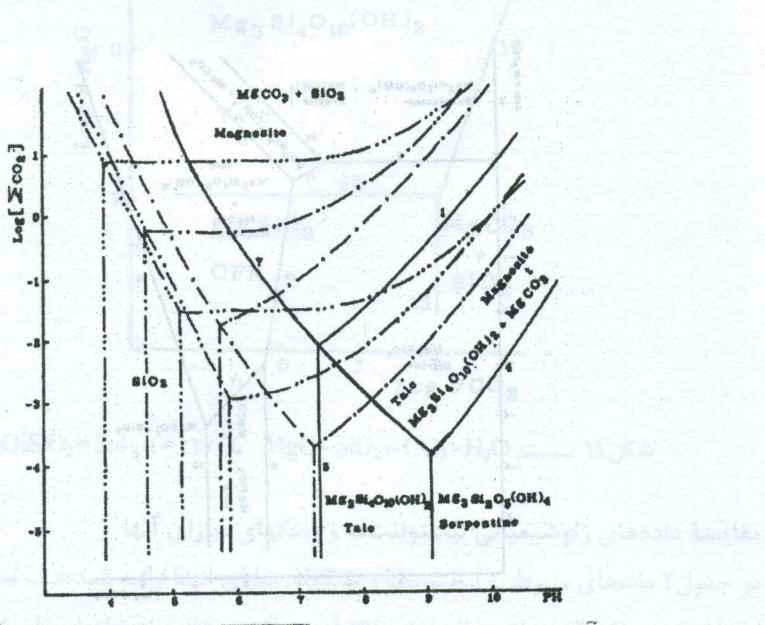
از مقایسه شکل‌های ۱۶ و ۱۷ درمی‌یابیم که در صورت ثابت بودن نسبت  $\text{MgO}:\text{SiO}_2$ ، با افزایش دما، واکنش‌ها در فشارهای  $\text{H}_2\text{O}$  و  $\text{CO}_2$  کمتری صورت می‌گیرد و در نتیجه میدان پایداری الیوین و ارتوپیروکسن کم و گستره کانی‌های حاصل از دگرسانی آنها فزونی خواهد یافت. هر دو شکل نشان می‌دهند که با افزایش  $p_{\text{H}_2\text{O}}$  به تنها‌یی، الیوین به سرپانتینیت و بروسیت تبدیل خواهد شد (واکنش ۸) و با افزایش  $p_{\text{H}_2\text{O}}$  به تنها‌یی، الیوین به ارتوپیروکسن و منیزیت (واکنش ۹) و سپس با ادامه افزایش  $\text{CO}_2$  این مجموعه به منیزیت و سیلیس تبدیل می‌شوند. اگر  $\text{CO}_2$  و  $\text{H}_2\text{O}$  با هم اضافه شوند و برتری با  $\text{CO}_2$  باشد، واکنش‌های ۱۰ و ۱۲ صورت می‌گیرد که محصول آنها تالک و منیزیت است، ولی چنانچه برتری با مقدار  $\text{H}_2\text{O}$  باشد، الیوین مستقیماً به سرپانتین و منیزیت تبدیل می‌شود (واکنش ۱۱). در هر حالت با افزایش  $P_{\text{CO}_2}$  محصول نهایی منیزیت و سیلیس خواهد بود (واکنش‌های ۱۳ و ۱۶). نهایت اینکه مقایسه شکل‌های ۱۸ و ۱۹ نشان می‌دهد که در دما ثابت، با کاهش نسبت  $\text{MgO}:\text{SiO}_2$  از مقدار ۲:۱ به ۳:۴ بجای واکنش ۱۲، واکنش ۱۸ صورت می‌گیرد؛ یعنی، منیزیت ( $\text{MgCO}_3$ ) از دو گستره مربوطه حذف می‌شود.



شکل ۱۳ نمودار کلی از منحنی‌های T بر حسب  $X_{\text{CO}_2}$  نقل از [۱۵]، اقتباس از [۱۴]

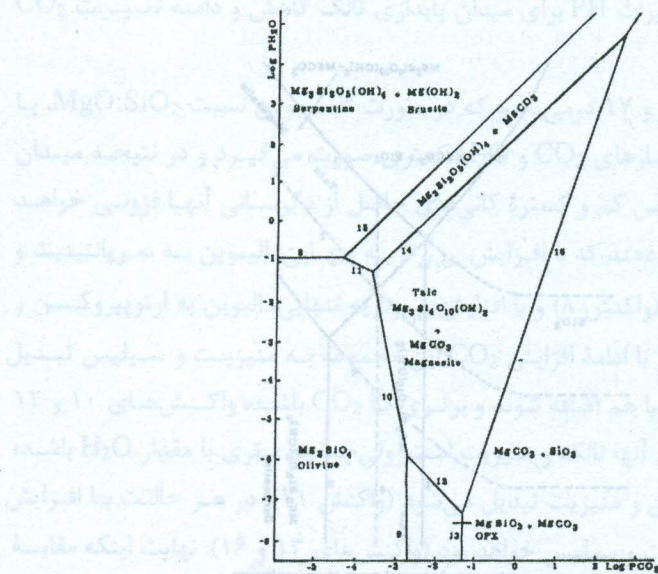


شکل ۱۴ سیستم  $\text{MgO} - \text{SiO}_2 - \text{CO}_2 - \text{H}_2\text{O}$  در صورتیکه  $[\text{Mg}^{+2}] = 10^3$  باشد [۱۳]

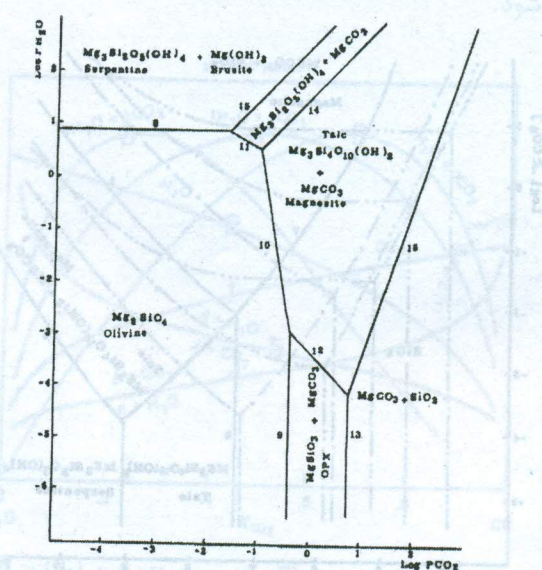


شکل ۱۵ سیستم  $\text{MgO} - \text{SiO}_2 - \text{CO}_2 - \text{H}_2\text{O}$  در صورتیکه  $[\text{Mg}^{+2}] = 10^3$  در دما  $25^\circ\text{C}$  تا  $300^\circ\text{C}$  باشد [۱۳]

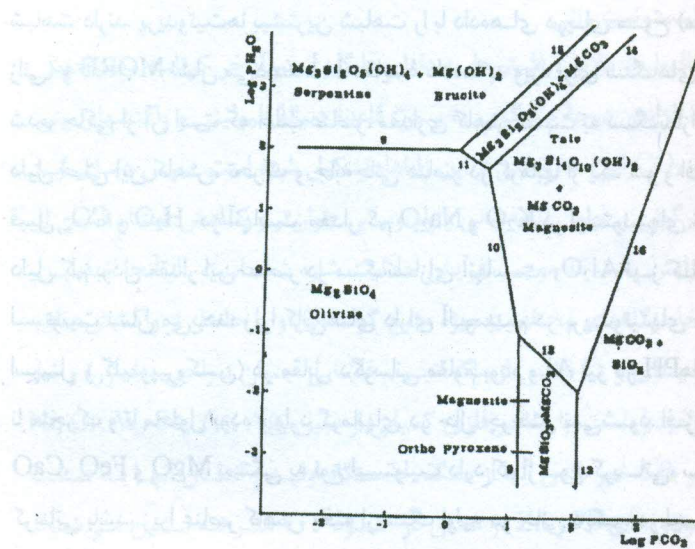
[۱۳]



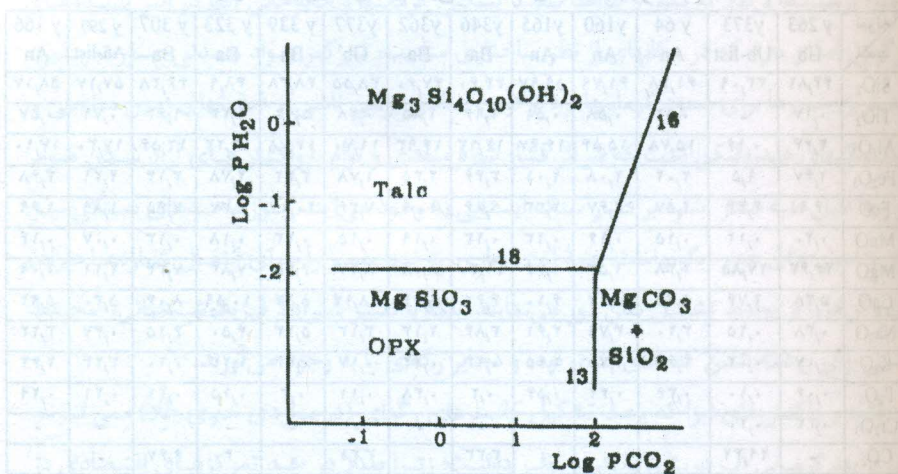
شکل ۱۶ سیستم  $\text{MgO} : \text{SiO}_2 = 2 : 1$ ,  $t = 227^\circ\text{C}$ ,  $\text{MgO} - \text{SiO}_2 - \text{CO}_2 - \text{H}_2\text{O}$



شکل ۱۷ سیستم  $\text{MgO} : \text{SiO}_2 = 2 : 1$ ,  $t = 127^\circ\text{C}$ ,  $\text{MgO} - \text{SiO}_2 - \text{CO}_2 - \text{H}_2\text{O}$



شکل ۱۸ سیستم  $\text{MgO} : \text{SiO}_2 = 2 : 1$ ,  $t = 227^\circ\text{C}$ .  $\text{MgO} - \text{SiO}_2 - \text{CO}_2 - \text{H}_2\text{O}$



شکل ۱۹ سیستم  $\text{MgO} : \text{SiO}_2 = 3 : 4$ ,  $t = 227^\circ\text{C}$ .  $\text{MgO} - \text{SiO}_2 - \text{CO}_2 - \text{H}_2\text{O}$

مقایسه داده‌های ژئوشیمیائی لیستونیت‌ها و سنگهای سازای آنها در جدول ۲ داده‌های مربوط به لیستونیتها و سنگهای سازای آنها ارائه شده‌اند. سنگهای بازیک و اولترابازیک منطقه که متعلق به افیولیت ملاز آن منطقه هستند روند تولیتی را نشان می‌دهند. از این میان، بازالتها به گروه بازالت‌های رشت‌های میان اقیانوسی تا حدودی غنی شده (E-MORB)

شباهت دارند. پریدوتیت‌ها بیشترین شباهت را با داده‌های دریای سرخ (مرحله پیش از اقیانوس زائی) و MORB نشان می‌دهند [۱]. مقایسه داده‌ها به ویژه برای سنگ‌های اولترابازیک لیستونیتی شده، حاکی از آن است که اغلب عناصر، مقداری کاهش نسبت به سنگ‌سازای خود نشان می‌دهند. دلیل اصلی این کاهش، تحرک و جابه‌جایی عناصر در گرمابهای از یک سو و افزایش مقادیر L.O.I از قبیل  $\text{CO}_2$  و  $\text{H}_2\text{O}$  در آنهاست. مقدار کم  $\text{Na}_2\text{O}$  و  $\text{K}_2\text{O}$  در لیستونیت‌های ناشی از اولترابازیکها به دلیل کم بودن مقدار این عناصر در سنگ‌سازای آنهاست.  $\text{Al}_2\text{O}_3$  نیز کاهش خیلی شدیدی در لیستونیت نشان می‌دهد؛ زیرا کانی‌های دارای آلومینیم در پریدوتیت‌های سرباتانینی شده (کروم اسپینل و کلینوپیروکسن) در مقابل دگرسانی مقاوم بوده و  $\text{Al}$  نیز در PH‌های ۵ تا ۸ عنصری کاملاً نا متحرک و نا محلول بوده و وارد گرمابهای در حال چرخش نمی‌شود. افزایش و یا کاهش  $\text{SiO}_2$ ،  $\text{MgO}$  و  $\text{FeO}$  بستگی به نوع لیستونیت دارد که از نوع کربناتی، سیلیسی و یا سیلیسی-کربناتی باشد، زیرا عناصر کاهش یافته از سنگ اولیه در جای دیگر، در لیستونیت قابل پی‌گیری است [۱].

جدول ۲ تجزیه‌های شیمیایی سنگ‌های منطقه مورد مطالعه.

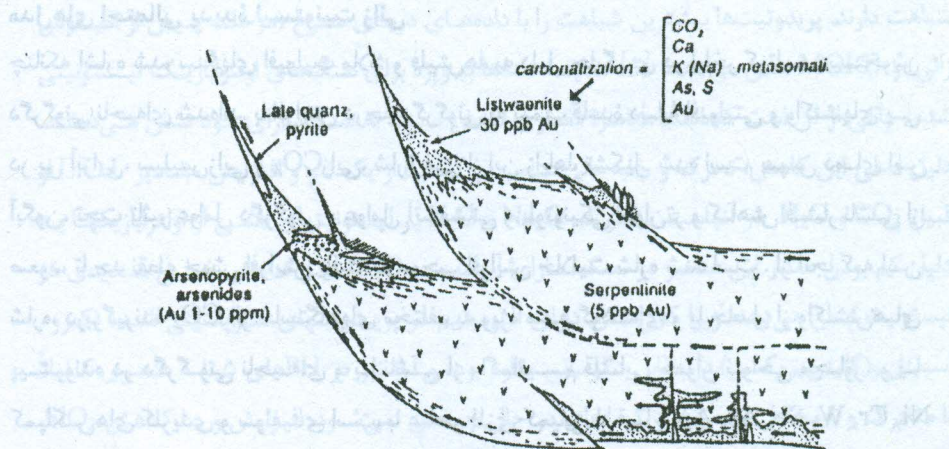
نوعه اکسید	y 263 Ub	y 373 Ub-list	y 64 An	y 160 An	y 165 An	y 346 Ba	y 362 Ba	y 377 Gb'	y 339 Ba	y 323 Ba	y 307 Ba	y 297 An-list	y 166 An
SiO <sub>2</sub>	۴۶,۸۲	۳۳,۰۹	۹۱,۴۸	۹۱,۷۹	۵۹,۹۷	۴۴,۹۰	۴۷,۶	۳۸,۰۵	۴۸,۳۸	۴۸,۹	۴۹,۲۸	۵۷,۱۷	۵۸,۱۷
TiO <sub>2</sub>	<۱۷	-	>۰,۵۲	>۰,۵۸	>۰,۵۱	۱,۹۹	۱,۸۵	>۰,۲۸	۱,۹۲	۱,۲۲	۱,۶۴	>۰,۷۱	>۰,۵۷
Al <sub>2</sub> O <sub>3</sub>	۳,۴۴	>۱۶	۱۵,۷۸	۱۵,۰۴	۱۶,۷۶	۱۲,۹۳	۱۴,۹۳	۱۱,۷۰	۱۴,۷۸	۱۲,۲۳	۱۲,۰۵	۱۷,۱۰	۱۷,۱۰
Fe <sub>2</sub> O <sub>3</sub>	۱,۷۷	۱,۵	۲,۰۲	۲,۰۸	۲,۰۱	۲,۴۶	۲,۳۵	۱,۷۸	۲,۴۲	۲,۷۸	۲,۱۴	۲,۲۱	۲,۱۸
FeO	۶,۹	۴,۴۴	۲,۵۷	۲,۶۷	۲,۳۳	۹,۸۹	۱۰,۹	۷,۳۶	۱۰,۰۷	۶,۳۷	۷,۶۵	۱,۸۹	۱,۸۹
MnO	>۱۰	>۱۲	>۱۵	>۱۶	>۱۳	>۱۳	>۱۹	>۱۵	>۲۳	>۱۸	>۱۳	>۰,۷	>۱۳
MgO	۲۶,۶۳	۲۷,۸۵	۲,۳۸	۱,۵۳	۱,۴۴	۱۱,۲۰	۸,۰۸	۸,۲۷	۶,۱۵	۷,۸۳	۷,۳۴	۲,۱۱	۲,۱۹
CaO	۵,۳۸	۲,۷۶	۵,۷۵	۵,۹۷	۶,۱۰	۴,۹۲	۸,۴۲	۱۸,۱۴	۵,۸۴	۱۰,۰۹	۸,۰۴	۵,۳۰	۵,۹۲
Na <sub>2</sub> O	>۳۸	>۲۵	۳,۲۰	۳,۷۹	۳,۶۱	۳,۸۴	۲,۱۳	۳,۱۳	۵,۱۳	۴,۰۵	۶,۱۵	>۰,۷	۳,۱۲
K <sub>2</sub> O	>۰,۷	>۰,۲	۲,۶۰	۲,۷۵	۲,۶۵	>۱۳	>۱۲	>۱۷	>۳۴	>۲۳	>۱۰	۳,۲۴	۲,۹۲
P <sub>2</sub> O <sub>5</sub>	>۰,۹	>۱۰	>۳۶	>۴۲	>۵۴	>۲	>۳۸	>۱۱	>۳	>۱۵	>۲۲	>۱۱	>۰,۷۹
Cr <sub>2</sub> O <sub>3</sub>	>۳۳	>۲۰	-	-	-	-	-	-	-	-	-	-	-
CO <sub>2</sub>	-	۲۹,۴۲	-	-	-	۳,۳۳	-	۳,۳۱	-	۴	۶,۶۷	-	-
H <sub>2</sub> O	۹,۸۷	-	۲,۷۹	۲,۰۴	۳,۴۱	۳,۳۲	۳,۳۷	۹,۹۱	۳,۲۲	۱,۴۹	-	۹,۱۹	۳,۶
Rb	<۱۰	-	۶۴	۷۷	۸۰	-	-	<۲۰	۲۴	<۱۰	<۲۰	۱۴۸	۷۷
Sr	<۲۰	۱۸۰	۷۷۱	۸۰۰	۷۴۶	۱۱۸	۱۱۹	۱۴۵	۱۱۸	۲۸۱	۱۸۹	۱۵۸۲	۸۴۹
Nb	-	-	۱۰	۱۹	-	۱۹	-	-	-	<۱۰	-	۲۱	-
Zr	-	<۳۰	۱۴۵	۱۵۸	۱۸۰	۱۱۷	۱۰۹	<۳۰	۱۰۰	۷۱	۱۰۰	۳۰۲	۱۴۴
Y	<۲۰	<۲۰	<۲۰	۱۰	۱۲	۲۴	۳۰	۱۶	۲۹	۳۶	۲۹	۳۶	۱۱

$An$ -List = آندرزیت لیستونیتی،  $Ba$ = بازالت،  $Ub$ = اولترابازیک،  $Gb$ = گلبر و شده.

### مدل‌های احتمالی پدیده لیستونیت زائی

چنانکه اشاره شد، سنگهای افیولیت ملانژ و فلیش‌ها، به دلیل جایگیری در اوخر کرتاسه دستخوش دگرگونی ناحیه‌ای شده‌اند. با افزایش درجه دگرگونی به سمت قاعدة دنباله افیولیتی و واکنشهای پی در بی آبرازی، سیلیس زایی و  $CO_2$  زایی، شاره غنی از این زاییها، تشکیل شده است. سپس دمای این آبگون، تحت تاثیر عوامل دگرگونی و عوامل آتشفشانی و پلوتونیکی جوان‌تر و کاهش فشار ناشی از صعود، تا حد نقطه جوش افزایش یافت که موجب افزایش حلالیت شاره شده است. از آنجا که این شاره، دربرگیرنده  $CO_2$  (از خاستگاههای مختلف به ویژه منبع گوشه‌ای و یا حاصل از واکنش‌های پیشرونده در دگرگونی ناحیه‌ای و یا ناشی از مagma‌تیسم قلیایی جوان نواحی مجاور) و یا کمپلکس‌های کلریدی و سولفیدی است، با عناصر فلزی کمیابی از قبیل, Ni, Cr, W, Sb, As, Ag,  $All$  تشکیل کمپلکس داده و باعث دور شدن آنها از سنگ خاستگاه اولیه و انتقال آنها به سمت سطح می‌شود؛ در حالیکه سولفورهای Pb و Zn در عمق در حدود ۲۰۰ متر ته نشین می‌شود. هنگام ورود آبگونهای اسیدی حاوی طلا به محیط قلیایی و احیای سنگ‌های کربناتی، سیلیس - پیریت- آرسنیدها و طلا ته نشین خواهد شد. با تشکیل گرمابیها و جابه‌جایی آنها در اثر پدیده‌های دگرگونی، امکان دارد که در مکانهای از نظر ساختاری مناسب، تمرکز مواد معدنی صورت پذیرد. مناسبترین مسیرها برای صعود گرمابیها - دگرگونی، مناطق برشی ناشی از فعالیتهای زمین‌ساختی و یا شکستگی‌های هیدرولیکی است که در اثر فشار شاره منفذی و توام با واکنش‌های آزاد شدن مواد فرار و به دلیل غلبه فشار شاره بر فشار سنگ، ایستایی به وجود می‌آیند. مرز واحدهای سنگی نیز مکان مناسبی برای عبور آبگونهای است. همه این مجاری، نه تنها مسیر را برای انتقال شاره‌ها فراهم کرده و آن‌ها را از محیط تشکیل شان دور می‌نمایند، بلکه با تغییر شرایط فیزیکوشیمیائی، محیط مناسبی برای نهشته شدن کانه‌های فلزی بوده و ذخایر رگهای را به وجود می‌آورند.

علاوه بر واکنش‌های آبزا که باعث تشکیل کانسارهای رگهای (در مواردی حاوی طلا) می‌شوند، نقش فرایند گرمابی آب دریا را باید در نظر داشت؛ زیرا طلا در حد تمرکزهای اقتصادی در افیولیت‌های دیده می‌شود که بیشتر با سریانتینیت‌های به شدت دگرسان شده، سیلیسی و کربناتی شده در ارتباط است. این کانسارها که توسط زمین شناسان روسی، لیستونیت نامیده می‌شوند، معمولاً در کناره‌های مرز گسله بلوکهای سنگهای اولترامافیک افیولیتی تشکیل می‌شوند [۱۶]. عدسی‌های لیستونیتی در برخوردگاهها زمین‌ساختی ظاهر شده و به طور جانبی با یک منطقه تالک - کربنات، به سنگ‌های اولترامافیک سرپانتینی شده تغییر می‌یابند (شکل ۲۰) [۱۶].



شکل ۲۰. غنی‌شدگی پیشرونده طلا به عنوان تابعی از دگرسانی توده‌های سرپاتینیتی شده [۱۶].

برداشت

۱- سنگ‌های منطقه، به ویژه سنگ‌های اولترابازیک، تحت تأثیر گرمابیهای ناشی از شاره‌های آزاد شده طی واکنش‌های متعدد دگرگونی، آبهای اقیانوسی و آبهای به دام افتاده و نیز گرمابیهای با خاستگاه گوشه‌ای یا موتورهای گرمایی ماقمatisم قلیایی مناطق هم‌جوار و در شرایط مناسبی از PH، P و  $X_{H_2O}$ ،  $X_{CO_2}$  به مجموعه‌های سیلیسی-کربناتی (لیستونیتی) تبدیل شده‌اند.

۲- لیستونیت‌زائی معمولاً در مکان‌هایی رخ داده که محل مناسبی برای انتقال آبغونها باشد. لذا از مهمترین کنترلهای ساختاری بایستی زون‌های گسلی، شکستگی‌ها، مناطق برشی، مرز واحدها، یا سطوح لایه‌بندی و شیستوزیته را نام برد که روند خطی رگه‌های لیستونیت بیانگر آن است.

۳- در شرایط  $X_{CO_2}$  پائین، سنگ‌های اولترابازیک به سرپاتینیت و سنگ‌های بازیک هم‌جوار با اولترابازیک‌ها به رویدنگیت تبدیل شده‌اند.

۴- براساس ماهیت سنگ‌های اولیه، لیستونیت‌های منطقه در سه گروه، ارتولیستونیت‌ها (اولترامافیک‌ها، مافیک‌ها و حد واسطه‌ای لیستونیتی شده)، پارالیستونیت (ماسه سنگ، سیلتستون و کنگلومرای لیستونیتی شده) و اپی‌لیستونیت (اسلیت‌ها و فیلیت‌های لیستونیتی شده) قرار می‌گیرند. همچنین براساس مقدار کانی‌های سیلیسی-کربناتی، لیستونیت‌های منطقه، بیشتر در گروه سیلیسی-کربناتی و به ندرت در گروه‌های کربناتی و یا سیلیسی جای می‌گیرند.

۵- شواهد میکروسکوپی نشان می‌دهند که واکنشهای لیستونیت‌زائی شامل واکنشهای پیش درآمد و واکنش‌های اصلی است. واکنش‌های پیش درآمد، طی دگرگونی ناحیه‌ای رخ داده و طی آن سنگهای اولترابازیک به سرپانتینیت شیست تبدیل شده‌اند. این واکنشها در  $X_{CO_2}$  کم و یا صفر انجام گرفته‌اند. واکنشهای اصلی در  $X_{CO_2}$  زیاد و در دو نوبت صورت پذیرفت. طی این واکنش‌ها، مجموعه کانی‌های سیلیکاته سنگ، در راستای سطوح برگوارگی به مجموعه سیلیسی کربناتی (لیستونیت) تبدیل شده‌اند.

۶- حضور سولفورهای آهن، نیکل و نیکل - کبالت- آهن می‌تواند احتمال وجود عناصر طلا، نقره، جیوه، آرسنیک، آنتی موآن . . . را در لیستونیت‌های منطقه افزایش دهد.

۷-  $CO_2$  با خاستگاه گوشه‌ای، به تنها یک و یا تداخل آن با مواد پوسته‌ای و یا آب دریا ،  $CO_2$  آزاد شده و طی دگرگونی ناحیه‌ای پیشروند و نیز  $CO_2$  ناشی از ماقماتیسم قلیایی نژوژن- کواترنر مناطق همجوار (بازالت‌های سربیشه) را شاید بتوان به عنوان تامین کننده‌های اصلی  $CO_2$  در نظر گرفت [۴].

#### مراجع

- [۱] یوسف‌زاده محمدحسین، "پترولوژی پدیده‌های لیستونیتی شدن در مجموعه‌های آذرین و رسوبی شرق خوسف (جنوب غربی پیرجند)"، دانشگاه اصفهان، پایان‌نامه کارشناسی ارشد، ۲۹۱ صفحه. (۱۳۷۵).
- [۲] زین‌کوب محمدحسین، "بررسی مواد معدنی با تأکید بر واکنشهای آبزا و پدیده لیستونیتی شدن در منطقه سهل آباد - پیرجند"، دانشگاه کرمان، پایان‌نامه کارشناسی ارشد، ۴۰۳ صفحه. (۱۳۷۲).

[3] Ivan P., "Hydrothemally- metasomatic alterations of ultramafic rocks", In: Ivan P., Jaros, J., kratochvil , M., Reichwalder, P., Rojkovic, I., Spisiak, J., Turanova, L. Ultramafic rocks of the western Carpathians, Czechoslovakia. Geologicky Ustav Dionyza Stura, Bratislava, pp 171-181. (1985)

[4] Halls c., zhao R., Shine C., Cooper C., Harrington K., "listvernites and related rocks associated with gold mineralization in Co. mayo", Ireland. Mineralogical Society of Great Britain and Ireland Winter Conference, Cardiff, December 16-18,199. Industrial and Environmental Mineralogy, Programme and Abstracts, 25p(1991).

[5] Spiridonov E.M., "Listvenites and zodites", International Geology Review (334): 397 – 407. (1991)

[6] Ohanian T., Tatvosian Sh., "Geological map of Birjand sheet No. 7855", Scale 1:100000, Geological survey of Iran. (1978) (Final revision Eftekharnezhad, 1986)

- [7] Vahdati F., Kholghi M.H., "Geological map of khusf", sheet No. 7755, Scale 1: 100000, Geological survey of Iran. (1989)
- [8] Kashkai M.A., Allakhverdiev Sh.I., "Listvenites, their origin and classification.", (Listvenites, ikh genezis klaifikasiatsiya; Akad. Nauk Azerbaidzhanskoi SSR), Institut Geologii, im. akad. I.M. Gubkina; Izdat. Akad. Nauk Azerbaidzhanskoi SSR, Baku, 142P. (1965)
- [9] Halls C., Zhao R., "listvernites and related rocks: Perspectives on terminology and mineralogy with reference to an occurrence at cregganbaun", Co. Mayo, Republic of Ireland. Mineral Deposita, 303-313
- [10] Henderson F.B., "Hydrothermal alteration and ore deposition in serpentinite-type mercury deposits", Econ. Geol. 64: 489-499. (1969)
- [11] Zhao R., "Paragenetic and geochemical evolution of the Cregganbaun gold prospect", Co. Mayo, Republic of Ireland. PhD thesis, University of London, 327p. (1994).
- [12] هوشمندزاده عبدالرحیم، "پتروزنیستنگ‌های دگرگونه (ترجمه)", انتشارات دانشگاه شیراز، صفحه ۴۰۸ (۱۳۷۱).
- [13] Sazanov V.N., "Listvenitization and mineralization.", (Listveniti zaciya i orudeniye.) Izdatelstvo Nauka Moskva( Science publisher, Moscow), 171p.(1975).
- [14] Gerenwood H.J., "Mineral Equilibria in the system  $MgO - SiO_2 - H_2O - CO_2$ . In Abelson", P.H., ED., Researches in Geochemistry, V.2, John Wiley & Sons, New York, P.542- 567. 1967.
- [15] Philpotts A.R., "principles of igneous and metamorphic petrology. Prentice Hall", Englewood Cliffs. New Jersey. 498 Pages. 1991,
- [16] Buisson G., Leblance M., "Gold in carbonatized ultramafic rocks from ophiolite complexes", Econ. Geol. 80: 2026 – 2029. (1985b)
- [17] Ploshko V.V., "listvenitization and carbonatization at terminal stages of Urushen igneous complex", North Caucasus. Internat. Geol. Rev. 7(3) 446- 463. (1963)
- [18] Aydal D., "Gold bearing listwaenites in the Irac massif", Kastamonu, Turkey, Vol, 2, No.1, PP.43-51. 1990
- [19] Rose G., "Mineralogisch- geognostische Reise nach dem Ural", dem Altai und dem kaspischen Meere. Volume 1: Reise nach dem nordlichen ural und dem Altai. Berlin, C.W. Eichhoff (Verlage der sanderschen Buchhandlung), XXX puls 641p. and plates I-VII. (1837).
- [20] Rose G., "Mineralogisch- geognostische Reise nach dem Ural", dem Altai und dem kaspischen Meere. Volume 2: Reise nach dem sudlichen Urals und dem kaspischen Meere, Uebericht der Mineralien und Gebirgsarten des Ural. Berlin, G.E.Reimer (Verlage der sanderschen Buchhandlung), XV puls 606P. and plates I-V. (1842).